



Раздел 8

ПРОБЛЕМЫ ОЦЕНКИ И ОСВОЕНИЯ ТЕХНОГЕННЫХ МЕСТОРОЖДЕНИЙ

№ 3 с. Ч. 2 ◆ 2014

УДК (553.41:550.424.4):(553.971/.972:622'17)(571.17)

ПЕРЕРАСПРЕДЕЛЕНИЕ AU И AG МЕЖДУ ОТХОДАМИ ОБОГАЩЕНИЯ РУД НОВО-УРСКОГО МЕСТОРОЖДЕНИЯ И ТОРФОМ В СИСТЕМЕ ХВОСТОХРАНИЛИЩА

И. Н. Мягкая¹, Е. В. Лазарева¹, М. А. Густайтис¹, Б. Л. Щербов¹, С. М. Жмодик^{1,2}

Представлены данные о накоплении Au и Ag в торфах, контактирующих с сульфидсодержащими отходами горно-обогатительного производства, на примере потока рассеяния Урского хвостохранилища (Кемеровская область). Установлено, что содержания Au в торфе в среднем в 10 раз выше, чем в самих отходах. Средние содержания Ag в обоих типах вещества близки, но в торфе установлены локальные участки накопления элемента, где его содержание может превышать 500 г/т.

Ключевые слова: золото, серебро, сульфидсодержащие отходы обогащения, торф.

AU AND AG REDISTRIBUTION BETWEEN REFUSE ORE OF THE NEW URSK DEPOSIT AND PEAT IN THE SYSTEM OF TAILINGS STORAGE

I.N. Myagkaya, E.V. Lazareva, M.A. Gustaytis, B.L. Shcherbov, S.M. Zhmodik

The paper presents data on Au and Ag accumulation in peats contacting with sulphide-bearing refuse ore of mining-processing industry on the example of dispersion trains of the Ursk tailings storage (Kemerovo region). It is established that the Au contents in peat are on the average 10 times higher than in the refuse ores themselves. Ag average contents in both substance types are close but local sites of the element accumulation were found in the peat where its content can exceed 500 ppm.

Keywords: gold, silver, sulphide-bearing refuse ore, peat.

Складированные отходы обогащения оказывают неблагоприятное влияние на окружающие территории. Поэтому большинство работ по этой теме посвящено изучению окислительных процессов и воздействию кислых дренажных растворов на компоненты окружающей среды [1, 7, 16]. Однако накопленные в мире к настоящему времени материалы отходов обогатительного производства, содержащие недоизвлеченные полезные компоненты, могут стать базой для формирования техногенных месторождений. Поведение Au в условиях хвостохранилищ изучено недостаточно, хотя известны его высокая подвижность в гипергенных условиях [2, 10, 14] и случаи образования «нового», переотложенного, хемогенного Au⁰ в природных и техногенных системах [6, 8]. Авторами ранее установлено накопление золота в торфе, который в течение длительного времени (более 50 лет) контактирует с сульфидсодержащими отходами обогащения [4].

Торфяное вещество представляет собой геохимический барьер для различных элементов,

включая благородные металлы (БМ) [3, 11]. В современных природных торфяниках юго-восточной части Западно-Сибирской платформы выявлены аномально высокие содержания Au (0,6–16 мг/т, максимальное 160 мг/т) [13]. В данной работе рассматриваются особенности распределения Au и Ag в различном веществе потока рассеяния Урского хвостохранилища, включая природный органический барьер.

Объект и методы исследования

Урское хвостохранилище отходов обогащения золотополиметаллических серноколчеданных руд и руд зоны окисления Ново-Урского месторождения расположено на территории Урского рудного поля (северная часть Салаирского кряжа). Отходы складированы в два отвала высотой 10–12 м; первый сложен отходами первичных руд и содержит не менее 40 % пирита, второй – отходами руд зоны окисления (рис. 1). Содержания элементов в отходах приведены в табл. 1. Выше отвалов расположены затопленный карьер и подовые отвалы. Воды природного ручья, дрени-

¹ИГМ СО РАН (Новосибирск); ²НГУ (Новосибирск)

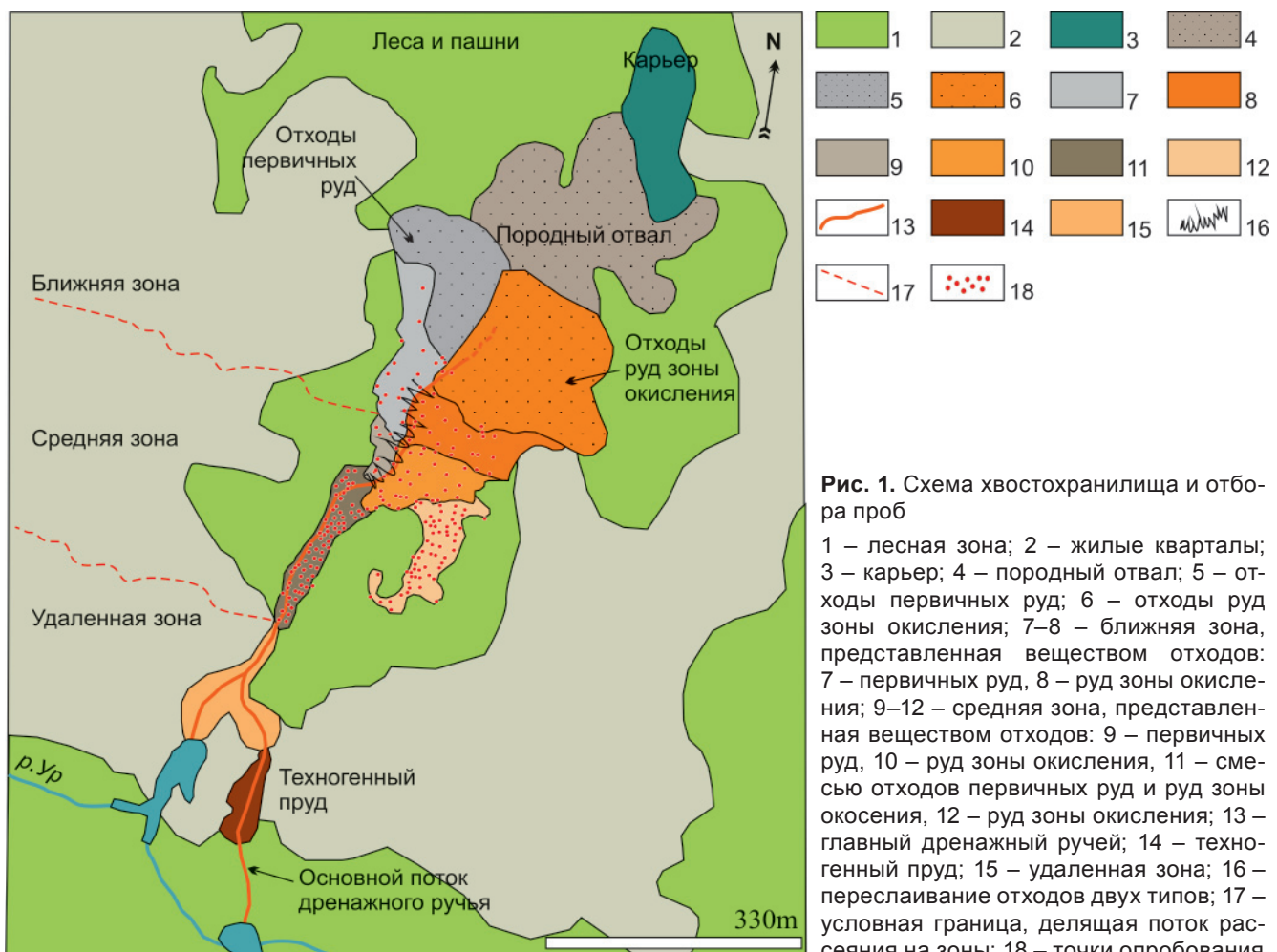


Рис. 1. Схема хвостохранилища и отбора проб

1 – лесная зона; 2 – жилые кварталы; 3 – карьер; 4 – породный отвал; 5 – отходы первичных руд; 6 – отходы руд зоны окисления; 7–8 – ближняя зона, представлена веществом отходов: 7 – первичных руд, 8 – руд зоны окисления; 9–12 – средняя зона, представлена веществом отходов: 9 – первичных руд, 10 – руд зоны окисления, 11 – смесь отходов первичных руд и руд зоны окисления, 12 – руд зоны окисления; 13 – главный дренажный ручей; 14 – техногенный пруд; 15 – удаленная зона; 16 – переслаивание отходов двух типов; 17 – условная граница, делящая поток рассеяния на зоны; 18 – точки опробования

Таблица 1

Содержание элементов в отходах, складированных в отвалы

Тип вещества	Na	Mg	Al	K	Ca	Fe	Ba	Mn	Cu	Zn	Ag	Au	Hg	Pb
	%							г/т						
Отходы первичных руд	2	1,3	0,2	1,5	3	25	16	25	122	174	15	0,6	59	1540
Отходы руд зоны окисления	0,5	0,1	2	0,5	0,3	7	4	45	100	134	11	0,47	65	1690

руя отвалы, превращаются в кислые растворы и через 0,7 км впадают в р. Ур [4].

Незакрепленные отвалы с 1940-х гг. размывались сезонными осадками и сносились в заболоченный лог. В потоке рассеяния выделены три зоны: ближняя (60 м от отвалов), средняя (130 м), удаленная (600 м) [9]. Из-за неровности рельефа средней зоны происходит разделение на две изолированные области (см. рис. 1), западная заполнена преимущественно отходами первичных руд, восточная – отходами руд зоны окисления. Торфяник заболоченного участка выжжен кислыми дренажными растворами и покрыт снесенными отходами, над которыми сохранились остатки болотных кочек и пней деревьев. Восточная часть торфяника постоянно обводнена дренажными растворами.

На территории потока рассеяния опробованы снесенные отходы и торф в закопушках (глубина до 20 см, через 15–20 м; см. рис. 1). Выделено пять групп веществ: 1) отходы; 2) смесь отходов

(преобладают) с небольшим количеством торфа и новообразованными охрами; 3) торф; 4) торф (преобладает) с отходами; 5) смесь торфа и отходов, заросшая мхом (расположена в нижней части восточной области средней зоны потока рассеяния).

Содержание Au и Ag определялось в аккредитованном аналитическом центре ИГМ СО РАН методом атомно-абсорбционной спектрометрии с использованием спектрометра 3030 В (фирма Perkin-Elmer) и фотометра Solar M6 (фирма Thermo Electron).

Результаты и выводы

Воды дренажного ручья соленые (минерализация до 5 г/л), сильнокислые (рН 2–2,7, Eh 665–720 мВ), сульфатные, алюминий-железистые [5]. Концентрации Au в дренажном ручье у отвалов варьируют в зависимости от сезона от 0,2 до 1,2 мкг/л, Ag – от 0,01 до 0,3 мкг/л. С удалением от отвалов в дренажном ручье увеличивается pH,

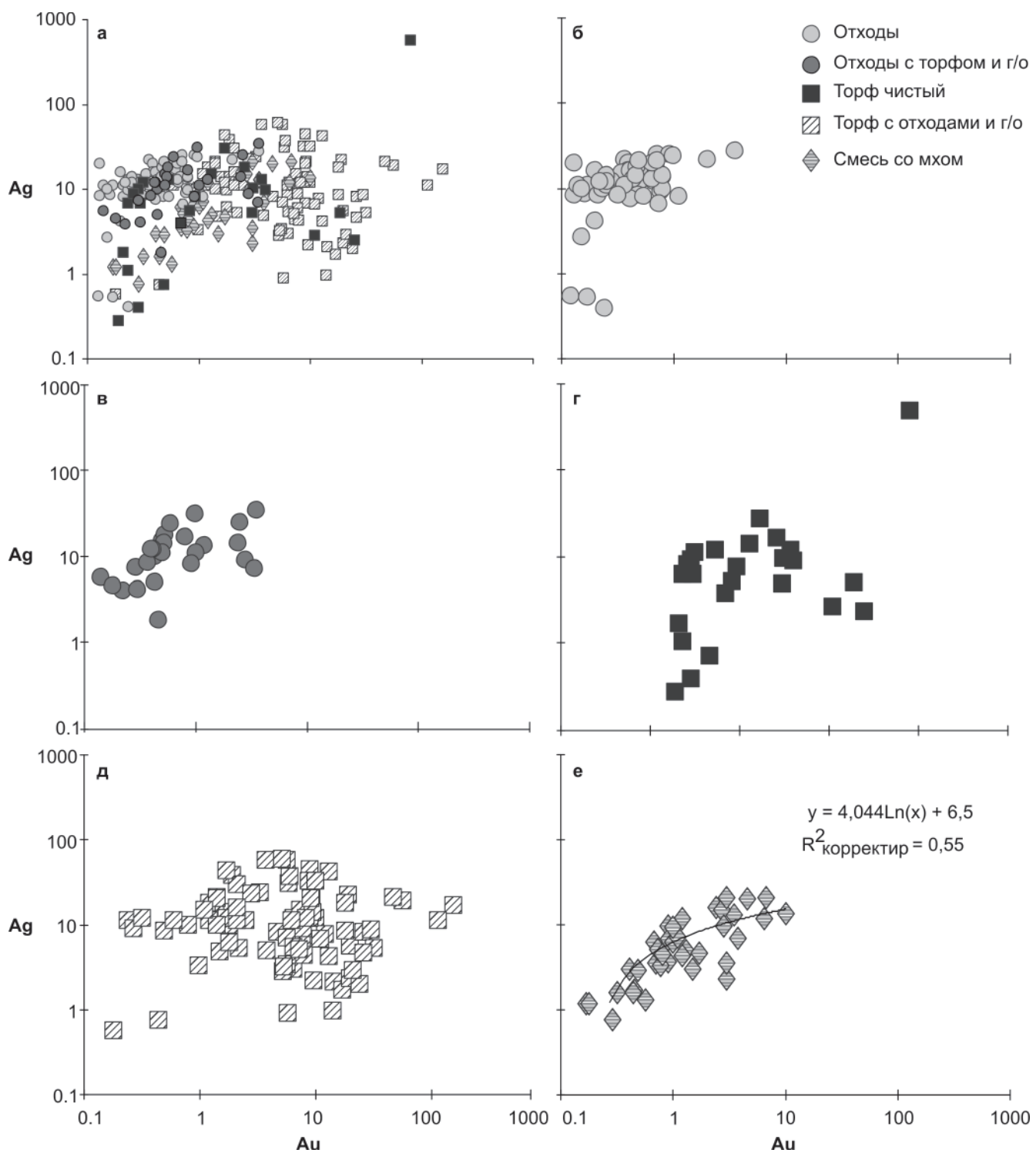


Рис. 2. Корреляционная зависимость содержаний (г/т) Ag от Au в твердом веществе потока рассеяния (г/о – гидроксиды Fe(III); $R^2_{\text{корректир}}$ – скорректированный коэффициент детерминации)

а концентрации Au снижаются до 0,003 мкг/л, Ag – до 0,008 мкг/л [4].

Содержания БМ в веществе потока рассеяния варьируют как в пределах выборки, так и между разными типами материала (табл. 2). Наиболее однородные содержания золота и серебра характерны для снесенных отходов, отмечены отдельные высокие содержания Au и низкие Ag, сильно оторванные от общей массы значений. Среднее и медиана по выборке, описывающей снесенные отходы, близки (см. табл. 2). Закон распределения

логнормальный (для Ag) и близкий к нему (для Au). В отходах с небольшой долей торфа распределение Au и Ag очень близкое, но доля образцов с содержанием Au, превышающим 1 г/т, больше, за счет чего выше среднее содержание и медиана по выборке; чуть более высокие значения характерны и для Ag (см. табл. 2).

Во всех трех типах торфяного вещества содержания Au резко превышают его содержания в отходах, демонстрируя накопление элемента на биогеохимическом барьере [3, 11, 13]. При

Таблица 2

Статистические данные по перераспределению Ag и Au в веществе потока рассеяния

Характеристики	Отходы, n = 65		Отходы + торф + охры, n = 26		Торф, n = 25		Торф + отходы, n = 86		Торф + отходы + охры + мох, n = 38	
	Au	Ag	Au	Ag	Au	Ag	Au	Ag	Au	Ag
Содержание, г/т										
минимальное	0,1	0,4	0,14	1,8	0,19	0,28	0,18	0,57	0,1	0,47
максимальное	3,5	28	3,5	34,5	80	564	155	60	10	21
среднее	0,49	13	0,9	12,5	6,4	30	12	14	1,9	7
медиана	0,39	13	0,5	11	0,83	6,8	6	10,5	1	4,9
Коэффициент корреляции	0,52		0,43		0,85		0,03		0,67	
Скорректированный коэффициент детерминации	0,26		0,15		0,9		-0,01		0,55	

Примечание. n – число проб.

этом содержания варьируют в широких пределах, среднее и медиана по выборке значительно различаются: средние арифметические значения для Ag в трех типах торфяного вещества составляют 30, 14 и 7 г/т, Au – 6,4; 12 и 7 г/т (см. табл. 2). Закон распределения для всех этих типов материала стремится к логнормальному.

Рассмотрение корреляционно-регрессионных закономерностей между Ag и Au (рис. 2) показывает следующее. В снесенных отходах содержания Au варьируют не столь сильно, как Ag (см. рис. 2, а–в). Коэффициенты корреляции Ag-Au в отходах (0,52) и в отходах, смешанных с органическими остатками и охрами (0,43; см. табл. 2), свидетельствуют о слабой положительной зависимости между содержаниями БМ. Скорректированный коэффициент детерминации дает основание предположить отсутствие удовлетворительной аппроксимации (см. табл. 2). Так, большая часть данных о содержаниях БМ непосредственно в отходах формирует довольно плотное облако рассеяния (см. рис. 2, б). Для отходов, смешанных с торфом и охрами, распределение не столь плотное (см. рис. 2, в). В обоих случаях «выбросы» связаны с частичным обогащением/обеднением вещества, которые установлены в западной и восточной частях средней зоны потока рассеяния.

Обеднение БМ характерно для отходов, не содержащих в большом количестве гидроксидов Fe(III), тогда как при их обилии содержания Ag увеличиваются в связи с тем, что Ag является изоморфной примесью минералов группы алунит-ярозит [15]. Также повышенные содержания Ag в отходах объясняются присутствием в них первичных пирита и барита, содержащих в качестве включений сохранившиеся исходные минералы серебра – жеффруаит ($(\text{Ag}, \text{Cu}, \text{Fe})_9(\text{Se}, \text{S})_8$) и науманнит (Ag_2Se). Если отходы смешаны с торфом и охрами, растет концентрация и Ag, и Au (см. рис. 2).

В веществе торфяника содержания Au и Ag варьируют сильнее, чем в отходах, особенно широко – Au – Au (три порядка). Максимальные содержания близки 100 г/т или выше. Разброс содержаний

Ag – два порядка, лишь в одной пробе достигает 564 г/т (см. рис. 2, г, д). Это сказывается и на форме облака распределения. В торфах, не смешанных с отходами, вариация данных менее сильная (см. рис. 2, г), чем в неоднородном торфосодержащем веществе (см. рис. 2, д). «Выбросы», связанные с невысокими содержаниями БМ, относятся к торфам, контактирующим с отходами первичных руд, а связанные с обогащением БМ зафиксированы в восточной части средней зоны потока рассеяния, которая находится в обстановке постоянного обводнения дренажными водами и покрыта отходами руд зоны окисления. Кроме того, в этих обогащенных пробах установлены новообразованные минералы, которые непосредственно влияют на содержания БМ. Высокие содержания Ag в торфе связаны с формированием селенсодержащих сульфидов ртути с примесью Ag и иодида серебра. Повышенные концентрации золота обусловлены наличием аутигенного наноразмерного высокопробного Au[°]. Все они обнаружены в восточной части обводненной средней зоны [4].

В резко отличающемся типе вещества (торф с отходами руд зоны окисления и охрами, поросший мхом) корреляционно-регрессионным анализом установлена прямая положительная логарифмическая корреляционная зависимость между содержаниями Ag и Au (см. рис. 2, е, табл. 2).

Итак, на территории Урского хвостохранилища установлено концентрирование БМ, особенно золота, в торфе, контактирующем с отходами обогащения и дренажными растворами. Серебро в торфе распределено относительно равномерно, тогда как золото – крайне неравномерно. Для обоих элементов отмечаются частично совпадающие участки, где происходит их наиболее активная аккумуляция. Эти участки расположены в области постоянного обводнения дренажными водами и покрыты отходами руд зоны окисления. Концентрирование сопровождается формированием Au[°] и серебросодержащих минеральных фаз. Прямая корреляционная зависимость Ag от Au установлена только в одном случае, на участке, где вещество торфа и отходов частично по-



росло свежим мхом; однако содержания благородных металлов здесь не самые высокие. Это можно объяснить тем, что определенная часть Au и Ag переносится в виде микро- и наночастиц первичных минералов БМ и осаждается на «мховом фильтре», существование которого установлено ранее [12]. Содержания Au и Ag в торфяном веществе значительно превышают таковые в первичных рудах, достигая ураганных значений, что позволяет рассматривать систему хвостохранилища в качестве модели, формирующей техногенные месторождения.

Авторы благодарят В. Н. Ильину (ИГМ СО РАН) за высококачественные аналитические работы. Исследования поддержаны РФФИ № 14-05-00668, РФФИ № 14-05-31280ИП СО РАН № 94 и МинОнН РФ.

СПИСОК ЛИТЕРАТУРЫ

1. **Бортникова, С. Б.** Техногенные озера: формирование, развитие и влияние на окружающую среду [Текст] / С. Б. Бортникова, О. Л. Гаськова, А. А. Айриянц. – Новосибирск: Изд-во СО РАН, филиал «Гео», 2003. – 120 с.
2. **Гидрогенное** концентрирование золота в аллювиальных россыпях Егорьевского района (Салаир) [Текст] / Е. М. Дутова, М. Б. Букаты, А. И. Неволько // Геология и геофизика. – 2006. – Т. 47(3). – С. 364–376.
3. **Гуминовые** кислоты бурых углей юга Дальнего Востока России: общая характеристика и особенности взаимодействия с благородными металлами [Текст] / В. А. Авраменко, С. Ю. Братская, А. С. Якушевич [и др.] // Геохимия. – 2012. – № 5. – С. 483–493.
4. **Золото** в системе сульфидные отходы и торфяник как модель поведения в геологических процессах [Текст] / И. Н. Мягкая, Е. В. Лазарева, М. А. Густайтис [и др.] // Докл. РАН. – 2013. – Т. 453(2). – С. 201–206.
5. **Миграция** тяжелых металлов (Cu, Pb, Zn, Fe, Cd) в ореоле рассеяния Урского хвостохранилища (Кемеровская область) [Текст] / И. Н. Щербакова, М. А. Густайтис, Е. В. Лазарева, А. А. Богуш // Химия в интересах устойчивого развития. – 2010. – Т. 18(5). – С. 621–633.
6. **Наночастицы** благородных металлов в зоне гипергенеза [Текст] / С. М. Жмодик, Ю. А. Калинин, Н. А. Росляков [и др.] // Геология рудных месторождений. – 2012. – Т. 54(2). – С. 168–183.
7. **Особенности** загрязнения почв в районе хранилища отходов пирометаллургического извлечения цинка на Беловском цинковом заводе [Текст] / О. Л. Гаськова, С. Б. Бортникова, В. Г. Кабанник, С. П. Новикова // Химия в интересах устойчивого развития. – 2012. – Т. 20(4). – С. 419–428.
8. **Осовецкий, Б. М.** Наноскульптура поверхности золота [Текст] / Б. М. Осовецкий. – Пермь : Изд-во ПГНИУ, 2012. – 232 с.
9. **Распределение** ртути и ее химических форм в зоне сульфидного хвостохранилища [Текст] / М. А. Густайтис, Е. В. Лазарева, А. А. Богуш [и др.] // Докл. РАН. – 2010. – Т. 432(5). – С. 655–659.
10. **Росляков, Н. А.** Геохимия золота в зоне гипергенеза [Текст] / Н. А. Росляков. – Новосибирск : Наука, 1981. – 239 с.
11. **Сорбция** на гуминовых кислотах как основа механизма первичного накопления золота и элементов группы платины в черных сланцах [Текст] / Г. М. Варшал, Т. К. Велюханова, Д. Н. Чхетия [и др.] // Литология и полезные ископаемые. – 2000. – № 6. – С. 605–612.
12. **Тайсаев, Т. Т.** Биогенная концентрация золота в ландшафтах золоторудных полей гольцовской зоны [Текст] / Т. Т. Тайсаев // Докл. АН СССР. – 1988. – Т. 301(4). – С. 871–976.
13. **Anomalous** gold contents in brown coals and peat in the south-eastern region of the Western Siberian platform [Text] / S. I. Arbuzov, L. P. Rikhvanov, S. G. Maslov [et al.] // Int. J. of Coal Geol. – 2006. – Vol. 68. – P. 127–134.
14. **Bowell, R. J.** Supergene gold mineralogy at Ashanti, Ghana: implications for the supergene behavior of gold [Text] / R. J. Bowell // Miner. Mag. – 1992. – Vol. 56. – P. 545–560.
15. **Dill, H. G** The geology of aluminium phosphates and sulphates of the alunite group minerals: a review [Text] / H. G. Dill // Earth-Sci. Rev. – 2001. – Vol. 53(1–2). – P. 35–93.
16. **The Geochemistry** of Acid Mine Drainage [Text] / D. W. Blowes, C. J. Ptacek, J. L. Jambor, C. G. Weisener // Treatise on Geochemistry. – 2003. – Vol. 9. – P. 149–204.

© И. Н. Мягкая, Е. В. Лазарева, М. А. Густайтис, Б. Л. Щербов, С. М. Жмодик, 2014